

大型の薄型高高度気球 (BT 120-1)

松坂幸彦*・鳥海道彦*・並木道義*
太田茂雄*・山上隆正*・檜野文命*
廣澤春任*

A Large Plastic Balloon Made With Thin Polyethylene Films (BT 120-1)

By

Yukihiko MATSUZAKA*, Michihiko TORIUMI*, Michiyoshi NAMIKI*,
Shigeo OHTA, Takamasa YAMAGAMI*, Fumiyoshi MAKINO*
and Haruto HIROSAWA*

Abstract: We have been developing plastic balloons made of thin polyethylene films since 1991. Since this balloon is lighter than a normal balloon, it can easily reach an altitude more than 40km with a payload less than 10kgs. In the development of high-altitude balloons, there are following problems. First, the weight of the balloon must be minimized as much as possible. Second, the large volume balloon with thin polyethylene films must be manufactured carefully. Third, the balloon must be stably launch without being damaged. A ceiling altitude of 48.7km was achieved by the balloon with a volume of 30,000m³ in 1995. A thin polyethylene balloon with a volume of 120,000m³ was launched by the new launching method successfully on January 27, 1997. The balloon ascended normally with ascending velocity of 275m/minute, and reached the altitude of 50.2km after three hours. These balloons can be used for high altitude observations with low cost, and can be replaced some observations of a small sounding rocket. We describe the launching method and some results of the test flight of the new balloon with the volume of 120,000m³ in this paper.

概要

宇宙科学研究所気球工学部門は、1991年より重量10kg以下の科学観測機器を高度40km以上まで飛翔させる気球の開発・製作を行っている。高高度まで気球を飛揚させるためには、気球本体の自重を如何に軽くし、気球飛翔環境に耐える大容積の気球を製作できるかにかかっている。また、気球にダメージを与えず安全に放球できる放球方法の開発も重要となる。1995年には、従来のフィルムの三分の一の厚さである5.8μmの超薄型ポリエチレン・フィルムを用いて、気球容積30,000m³を製作し、高度47.8kmまでの飛揚に成功した。さらに本年度、50km以上の気球高度をめざし、従来の最大容積の4倍である120,000m³の気球(BT 120)を開

*宇宙科学研究所

発・製作し、その飛翔性能試験を行った。この気球は長さが 92.4 m で、気球製作には高度な技術と品質管理が必要であるが予想最高高度の 50.2 km に到達した。これまでこの領域での観測は小型ロケットによるものであったが、今回の成功により、経費が少なく手軽に放球できる軽量気球でもこの領域での観測が可能となることになる。気球の飛翔中の様子は CCD カラービデオカメラ画像伝送装置を通して地上でリアルタイムで鮮明に観察することができた。また、気球破壊強度を調べるため気球内の圧力を測定し期待した結果を得た。気球高度の測定は正確性を考慮し、測距用トランスポンダおよび GPS 受信機で行った。ここでは BT 120 気球の飛翔実験について結果を含めた報告とする。

重要語：高高度気球、超薄型ポリエチレン、大型放球装置

1. はじめに

5.6 μm の薄型ポリエチレンフィルムを使った高高度気球の開発は 1991 年から本格的に始まった。図 1 は高高度気球開発の経過を示したものである。1991 年度は気球製作装置として、狭い工場内でも効率良く連続的に熱接着が可能な新型ベルトシーラを開発した [1]。この装置により気球製作の省力化や製作時間の大幅な短縮化、高度な品質管理を行うことができた。同時に、テレメータ、コマンド等の基本搭載機器の軽量化を行い電池を含んだ基本機器の搭載重量を約 1 kg と軽量化した [2]。基本搭載機器の軽量化は搭載可能な重量が少ない高高度気球にとって極めて重要なことと言える。1992 年には容積 15,000 m^3 の高高度気球 (BT 15) を開発製作し気球到達予想高度の 46 km に到達した。高高度気球の大型化に伴い、放球装置の開発がこの頃から始まった。放球装置はエアーバッグで気球を保持する方法で、100 kg 以下の浮力を安全に保持することができる。この装置により 1994 年には容積 30,000 m^3 の気球 (BT 30) が放球され、気球到達予想高度の 47.8 km まで上昇し自然破壊した [3]。1995 年からは長時間観測が可能な高高度気球の開発が始まり、排気口を持った高高度気球が製作された。排気口は柔軟性ベルト型と呼ばれ、気球の尾部から円筒型に伸びた形のものである。これにより高高度気球の水平浮遊が可能となり、長時間の観測ができるようになった [4][5]。また、長時間観測に必要不可欠であるパラスト弁の

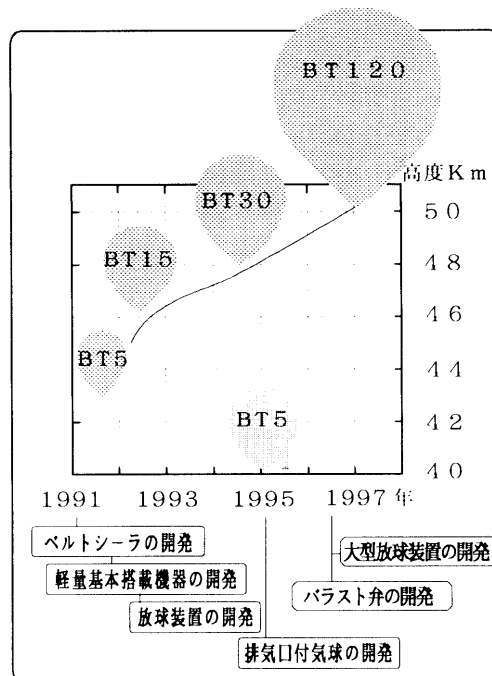


図 1. 高高度気球の開発経過

開発も行われ、高高度気球搭載用軽量バласт弁を製作した[6]。高高度気球も大型のものが製作できるようになり浮力100kgを超える気球を対象とした大型放球装置が検討、製作された。この大型放球装置により1997年1月容積120,000m³の気球(BT 120)が放球され、高度50kmを超える高度に到達することに成功した。BT 120気球打ち上げの成功によって、大型高高度気球の製作技術や放球技術が確立された。

2. 放球方法の検討

薄型高高度気球は気球本体と観測器重量が軽いため、現在大型重量気球に使っている立て上げ放球法を全く同じ形で使うことはできない。これは気球を全長立て上げた場合、総浮力から気球重量分が引かれるため気球浮力として20kg程度しかなく、このため風に対する安定性が極めて悪くなる。このため、無風状態でしか放球できないことを意味する。また、気球のカラー位置を放球装置に固定すれば最も浮力の大きい状態となるため風に対して最も安定になるが、固定位置下の気球長が長いため狭い放球場では1m以下の風速でなければ放球できないことになる。無風状態の確率は低く期待できないため、2~3mの風速でも放球可能な放球方法について検討した結果、気球の中腹位置を放球装置に固定する不完全立て上げ方式が最も適した放球法と考えられた。

2.1. 不完全立て上げ方式

図2のように、気球頭部から適当な長さ(L)の位置を放球装置で保持する。Lが長くなるほど立て上げ後の浮力が減少するため、風に対する気球抗力は少なく倒れやすくなる。完全に立て上げた場合、浮力は20~30kgとなり弱風下でも不安定と考えられる。BT 120の場合、気球重量が約90kgであり、気球の中腹を保持した場合、浮力として60~70kgとなる。この場合2~3m/秒の風速に対して気球の傾きは小さく放球には問題がない[7]。

気球保持位置まではローラ車を使って気球上部を立て上げてゆく。気球に対する風の影響を少なくするため気球頭部から10.5mの位置にカラーを取り付け、放球時の切り離しは無線で行うこととした。放球直前において放球装置下の気球下部処理を折り畳む方式とするか伸長方式とするかは当日の風状況から判断することとし、風速2m以下で風向が安定している場合は折り畳み方式が適当である。

2.2. 放球装置

BT 120気球用に開発した大型放球装置の構造を図3に示した。この装置はBT 30用に開発した装置を一回り大型にしたもので、エアーバッグの圧力を1kg/cm²とした場合約120kgの浮力を保持することが可能である。放球装置の重量は15kgである。放球法を不完全立て上げ方式としたことで放球装置が気球を保持するのに必要な力は約70kgでよいことになる。したがって、エアーバッグの圧力を1kg/cm²とすれば、気球が風の影響を受

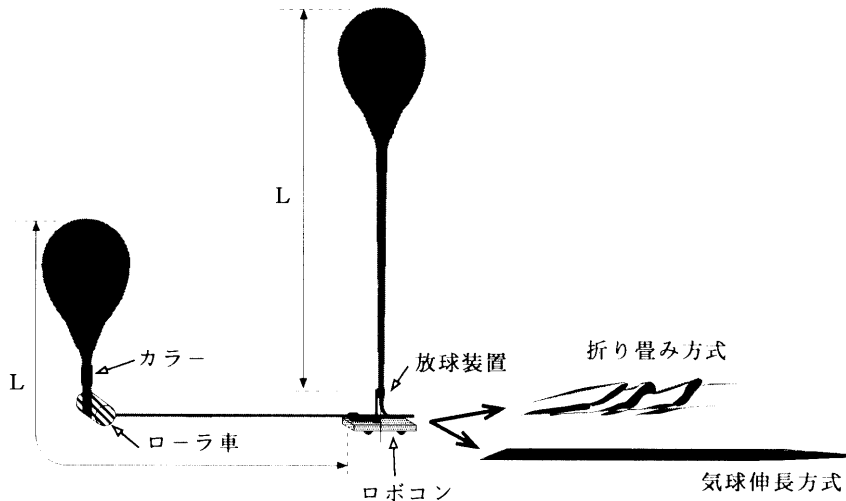


図2. 不完全立て上げ方式

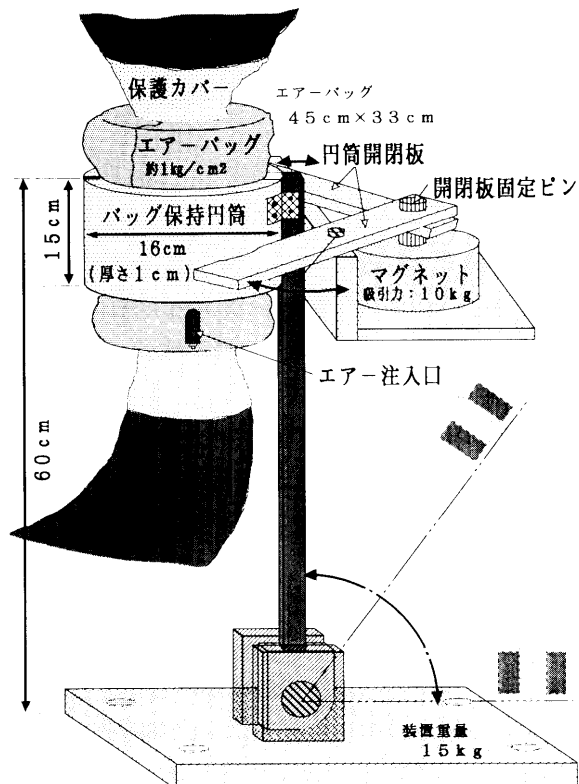


図3. 大型放球装置

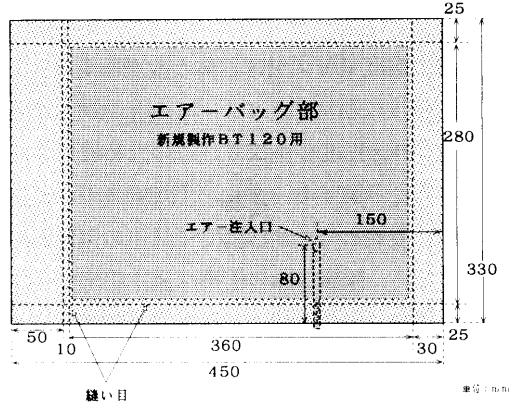


図4. エアーバッグの大きさ

けても十分に気球を保持することが可能である。BT 120 気球の中間を保持した場合、気球の太さは直径約7cmであり放球装置の円筒内エアーバッグに十分納めることができる太さである。今回新規に製作したエアーバッグのサイズを図4に示した。

3. BT 120 気球搭載機器

3.1. テレメータ

搭載した送信機は画像伝送用の 1687 MHz 水晶送信機、GPS データと測距信号伝送用の 1672 MHz 水晶送信機および気球内圧データ伝送用として 1680 MHz トランジスタ送信機であった。GPS データと測距信号は搭載した切換回路で切換て伝送することとし、伝送のシーケンスは図5に示した。

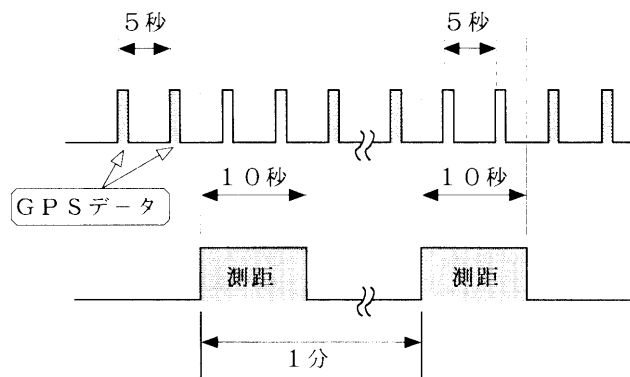


図5. GPS データと測距データ切換シーケンス

図からわかるように、1分間に測距可能な時間幅を10秒間とし、残りの50秒間は5秒間隔でGPSデータが送られてくることになる。したがって、測距とGPSデータの2つの方法により気球高度を知ることができる。カラーCCDカメラ画像および気球内圧データは単独で連続伝送した。

気球内圧データは伝送速度300bpsのPCMで、Biφ伝送とした。PCMは分解能8ビット、調歩同期方式である。

3.2. 簡易PCMコマンド

高高度気球用に開発した軽量PCMコマンド[2]を搭載した。使用した項目は次の5項目である。

CH1：気球切り離しカッター

CH2：バラスト装置の切り離し

CH3：バラストの投下と投下停止

CH4：画像伝送用水晶送信機の電源ON/OFF

CH5：トランジスタ送信機の電源ON/OFFおよび観測器吊り下げ気球の切り離し

CH4は画像伝送用送信機によるGPS受信機への電波干渉があった場合の対処法として入れた項目である。CH5はトランジスタ送信機の周波数変動を考慮し、他の送信機と周波数が重なった場合の対処法とした。

3.3. 気球内圧測定

搭載した内圧計センサはユニパルス製P592を使用した。圧力センサ出力は4VDC/±12.5grで重量は約70grのものである。圧力センサは0点の温度ドリフトがあるため、機上での校正を行った。その方法として図6に示したように三方弁を使用した。三方弁はシーケーディ(株)の小型直動式3ポート弁USG2-M5-2を用いた。三方弁の重量は約70grで直流12V駆動(3W)である。適当な時間だけ圧力センサ入力を大気開放側に切り換え0点を校正した。その後センサ入力を気球内圧側に切り換えた。今回は開放時間は3秒間とした。開放と計測の切換時間は可変であるが今回は10分間隔で行った。

圧力センサの低温試験結果から-40度での0点ドリフトは約-1.1Vであった。BT120気球で測定される予想内圧は0.1gr/cm²である。低温でのドリフトを考慮して内圧計測回路のオフセット値およびゲイン値を決定し、最終的な内圧計測回路出力を1VDC/0.25grとした。圧力計測の分解能はPCMの分解能8ビットで決まり、約0.005gr/cm²である。

3.4. その他の搭載機器

GPS受信機にはソニーIPS4000を搭載した。これまで多くの気球に搭載され実績があり、信頼できる機器で

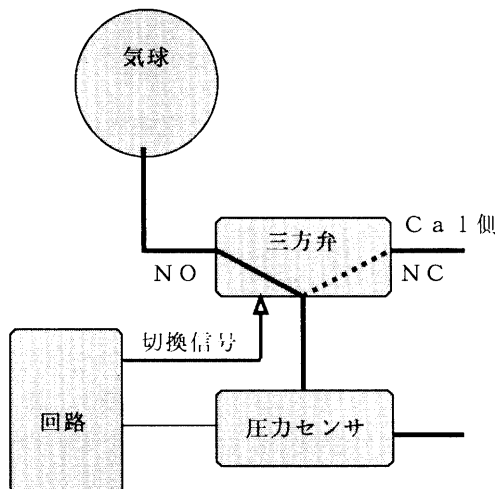


図6. 内圧計の校正

ある。GPSのデータは通常の9600 bpsから600 bpsにボーレート変換し、FSKで伝送した。気球の様子を観察するCCDカラービデオカメラは小型軽量で、DC 12V電源で動作し、画角は約49度(V)×64度(H)の広角である。ズーム機能はない。放球後の気球の上昇速度不足を補償するため搭載した軽量バラスト弁の投下量は毎分500grで、5kgのバラストを搭載した。また、最終の搭載重量を極力少なくする目的で全バラスト投下後、バラスト装置をカッタで切り離し、パラシュートで降下させる構成とした。

3.5. 搭載した電池

- (1) TX 1 (GPS+測距データ用) 3B 64 * 7 直列 * 2 並列
1672MHz水晶送信器 (消費電流約220mA)
 - (2) TX 2 (CCDカラーカメラ画像用) 3B 70 * 5 直列 * 2 並列
1687MHz水晶送信器+パワーアンプ (消費電流約800mA)
 - (3) TX 3 (気球内圧データ用) 3B 64 * 7 直列 * 1 並列
(消費電流約100mA)
 - (4) CCDカラーカメラ 3B 64 * 4 直列 * 2 並列
(消費電流約200mA)
 - (5) GPS受信機 LiF * 3 直列 * 1 並列
(消費電流約100mA)
 - (6) コマンド+回路 3B 64 * 4 直列 * 1 並列
(消費電流約50mA)
 - (7) メインカッター 3B 70 * 2 直列 * 1 並列
 - (8) ITV送信機ON-OFFリレー 3B 70 * 2 直列 * 1 並列
 - (9) バラスト箱切り離しカッター UM 3 * 2 直列 * 1 並列
 - (10) バラスト弁 3B 64 * 4 直列 * 1 並列
(消費電流約150mA)
 - (11) 内圧計+PCM+タイマ+回路 3B 64 * 4 直列 * 1 並列
(消費電流約50mA)
 - (12) ON-OFFリレー 3B 64 * 2 直列 * 1 並列
 - (13) シリンダ気球切り離しカッター UM 3 * 4 直列 * 1 並列
- * 3B 64, 3B 70 エレクトロケム社製リチウム電池
 * LiF ナショナル製リチウム電池
 * UM 3 アルカリ・マンガン電池

4. BT 120 気球の飛翔構成

表1にBT 120気球の重量構成を示した。バラストを含めた観測器重量は約10kg、総重量が98.82kgである。総浮力は自由浮力を12%として110.68kgであった。表2に気球の諸元を示した。使用フィルムはウィンゼン製S.F(ストラットフィルム)でフィルムの厚さは5.8μmである。

BT 120気球の放球直後の飛翔荷姿構成を図7に示した。気球内圧測定の必要性からPCMエンコーダ、圧力センサ、気球切り離しタイマ(5時間設定)、計測系回路等を気球下部に配置した。内圧データを送るトランジスタ送信機は圧力センサとの干渉があったため、パラシュートの下に配置し5mほど内圧センサから離すことで対処した。観測器に搭載したCCDカラーカメラで満膨張になった気球全体を観察する目的で、気球下の長さを40m以上とした。気球下重量は約12kgであるが、これらの機器を完全に浮かせた状態での放球を考えたため、観測器の上約10mの位置に浮力約13kgのポリエチレンシリンド気球を付けた。シリンド気球は放球後上空でコマ

表 1. 氣球重量構成

気 球	87.0 kg
ゴンドラ	4.3 kg
パラシュート	2.06kg
バラスト部	0.46kg
バラスト	5.0 kg
総 重 量	98.82kg
自由浮力 (12%)	11.86kg
総 浮 力	110.68kg

表 2. 気球の諸元

気球名称	BT 120-1				
製造年月	平成 8 年 8 月				
総 重 量	144 kg				
パネル枚数	82				
製造会社	藤倉航装株式会社				
フィルム	名 称	S. F			
	厚 さ	6μ			
	使用反番	60542036, 2040, 2043 60542045, 2047, 2049			
	製造年月	1996 年 4 月			
製造会社		ワインゼン			
直 径	69.9 m				
全 長	92.4 m				
ガス注入口	長 さ	40 m			
	本 数	1			
気球重量	頭 部	6.38 kg			
	全 体	87.07 kg			
ロードテープ	なし				
ランチャ線	11 m				
引裂紐	あり				
弁 座	なし				
弁 線	なし				
マグネット	なし				
吊り手	セルブ方式				
備 考	頭部 3 m 気密検査 溶接テープ 20 μ				

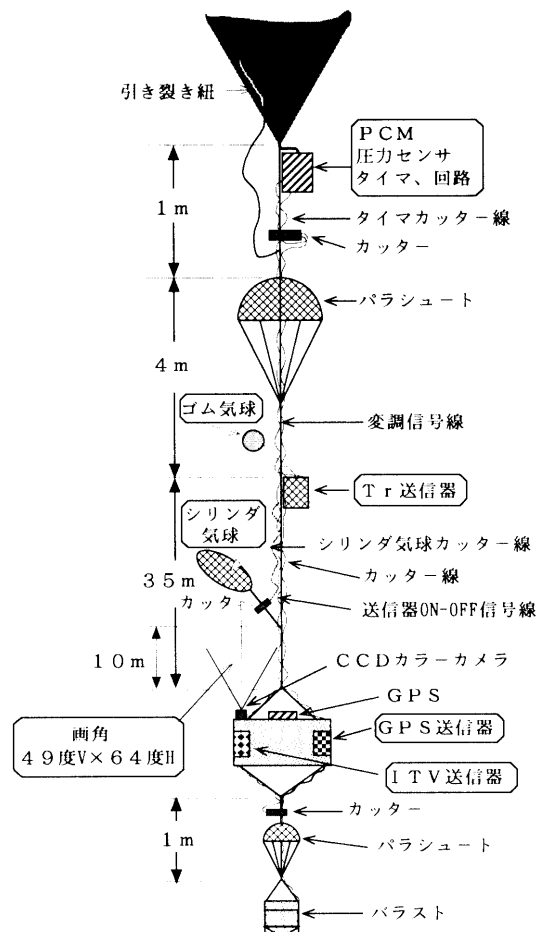


図7. 飛翔荷姿構成

ンドによりカッターで切り離すことにした。シリンド気球を用いることによって、観測器も含めたパラシュート荷姿関係を全て上空に浮いた状態とすることができるため、放球時には放球装置下の気球上昇にのみ注意を払えば良く放球がより容易になった。また、地上風が多少強くなっても(4~5m/秒)放球できる利点がある。

5. 放球経過および放球手順

BT 120-1 気球の放球は 1997 年 1 月 27 日午前 8 時 21 分に行われた。放球までの経過はほぼ放球スケジュールに沿って行われた。実際の放球経過を記述すると次のようであった。

6時15分 フィールド準備開始

(シートの配置、放球装置の設置、指令電話系統の準備等)

観測器の噛み合わせ開始

6時20分	ゴム気球へのガスの注入
6時40分	ゴム気球終了、シリンドラ気球へのガスの注入
7時15分	シリンドラ気球終了、気球の搬出開始
7時20分	気球重量の計測
7時24分	放球装置への気球のセット
7時32分	ローラ車への気球頭部のセット
7時38分	ガス注入の開始
7時45分	無線切り離しカラーの取り付け
7時50分	ガス注入終了
7時56分	気球尾部からのガス注入
8時02分	気球の立て上げ開始
8時03分	ベルクロカラーの取り付け
8時07分	気球の不完全立て上げ完了
8時08分	気球下部の放球配置処理
8時13分	回転テーブルの180度回転
8時20分	ベルクロカラーの取り外し後無線によるカラーの開放
8時21分	放球

写真1は気球の立て上げ時の様子であるが、この時点での風速は3~4m/秒で気球が風の影響で傾いているのがわかる。写真2はカラーが開放され、放球直後の様子である。放球時の風速は1m/秒以下であった。

ガス注入から放球前までの手順を図8に示した。放球当日の風速は時折3m/秒を超えることもあるため、気球の保持位置を当初の50mから40mに変更し、立て上げ後の気球浮力を大きくした。無線開放型カラーを気球頭部より10.5mの位置に、また、ベルクロカラーを25mの位置に配置し、立て上げ後に気球が地上風ではらむこと

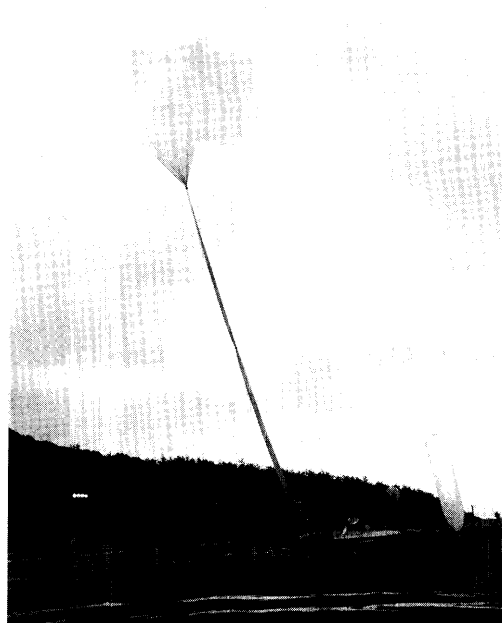


写真1. 気球の立て上げ

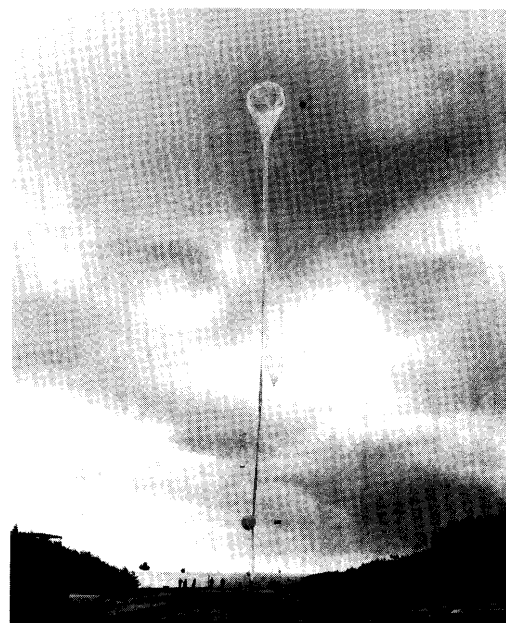


写真2. 気球の放球

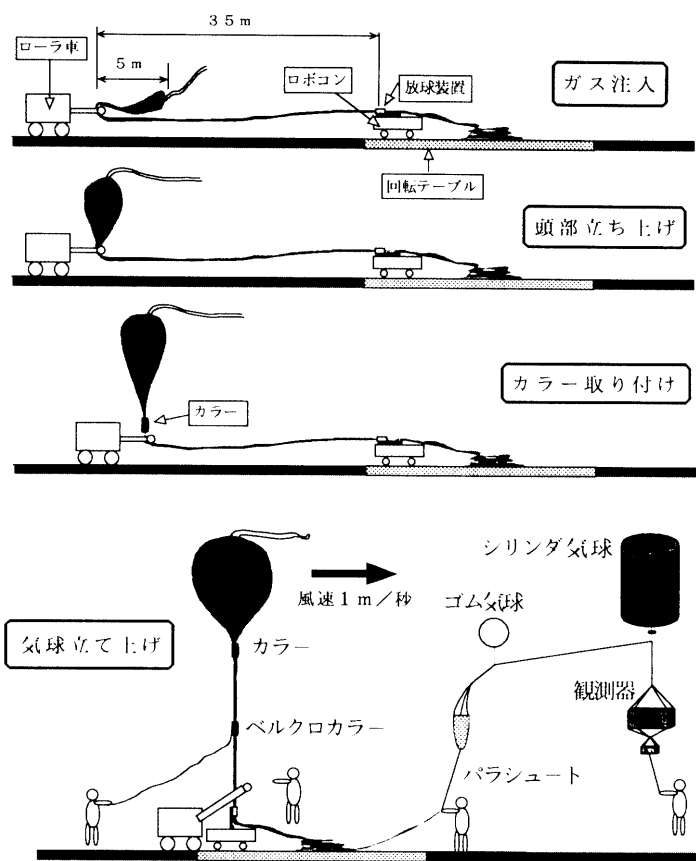


図8. ヘリウムガス注入から放球までの手順

を防いだ。ベルクロカラーの使用は極めて有効であった。

6. 搭載機器の動作結果

搭載した3つの送信機は干渉もなく、内圧データ、GPSデータ、画像を正常に受信することができた。CCDカラーカメラの画像は大窪山受信棟に新設した受信機での初めての受信であったが、安定した映像が得られた。気球は三陸受信点から最大約150km東方の地点まで移動したが、十分受信可能距離内であった。軽量バラスト弁については気球の上昇中約3kgのバラストを投下し、上昇速度が上がったことから良好に動作したことがわかった。簡易PCMコマンドも問題無く動作し、気球切り離しやバラストの投下等を正常に行うことができた。

ここでは、気球内圧の測定結果およびGPS受信機で得た高度データ結果について述べる。

6.1. 気球内圧の測定結果

気球内負圧を検出のために、放球前に気球の尾から気球内部に挿入した内圧計測用ステンレス管(径3mm)から約1m³のヘリウムガスを気球尾部に注入した。カメラ画像からは放球後気球下部のガスは気球頭部方向へは上昇しないで、そのまま下部に詰まった状態で気球下部が膨張して行く様子が見られている。どの高度までこの状態であったかは映像からでは判定することができなかった。

図9は放球後からの内圧計データである。2つの図は圧力スケールを変えて示してある。放球後からの出力の減少は0点の温度ドリフトで、さきに述べた低温による影響である。低温試験による圧力センサのドリフト量から推定すると-20度程度と思われる。0点校正用の三方弁は動作しているが、負圧は計測されなかった。また、JSTで11時頃から10分間程度乱れた負圧のデータが計測されているが現在のところ原因はわからない。画像を

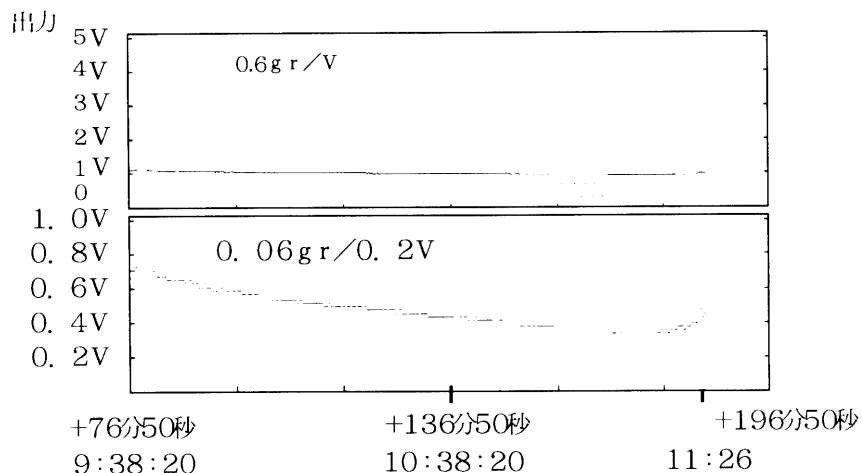


図9. 圧力計による気球内圧の測定

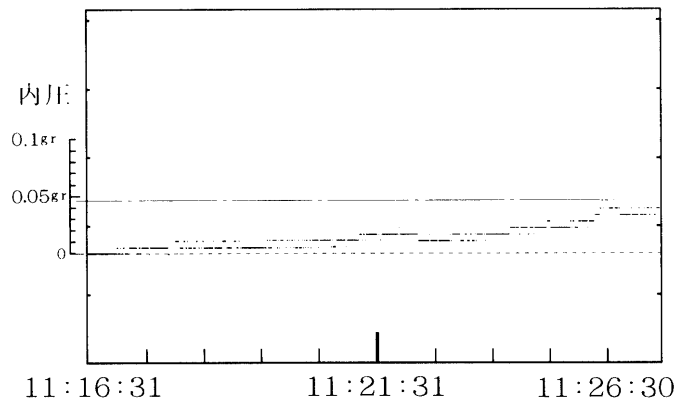


図10. 気球破壊までの内圧

見た限りでは、気球の状態の変化等は見られていない。気球にはJST 11時16分頃から内圧が加わりはじめ、11時26分頃に破壊しているのがわかる。

気球に内圧が加わりはじめたJST 11時16分頃から破壊時までの内圧データを図9に示した。内圧スケールを縦軸上に付加してあるが、計測された内圧は0.04~0.05gr/cm²であった。

6. 1. 1. BT 120 気球の理論高度

地上でのガスの体積(V_0)は圧力、温度とも平衡状態とすると、

$$V_0 = \text{総浮力} / (\rho_0 - \rho_{he}) = 101.9 \text{ (m}^3\text{)}$$

総浮力: 110.68kg

ρ_0 : 空気密度 = 1.26 (5°C)

ρ_{he} : ヘリウムガス密度 = 0.174 (5°C)

となる。フィルムに伸びが無い場合、到達高度 H は次式で求まる。

$$H = \{\rho(1 + 0.00367t) \times 760\} / 1.293$$

ここで、 ρ は上空での空気密度である。総重量を W (95.82kg)、気球の体積を V (120,000m³) とし、 ρ_{he} の温度は上空の温度より10度低いとすると ρ は、

$$\begin{aligned} \rho &= W/V + \rho_{he} \times V_0 / V \\ &= 95.82/120000 + 0.199 \times 101.9 / 120000 \end{aligned}$$

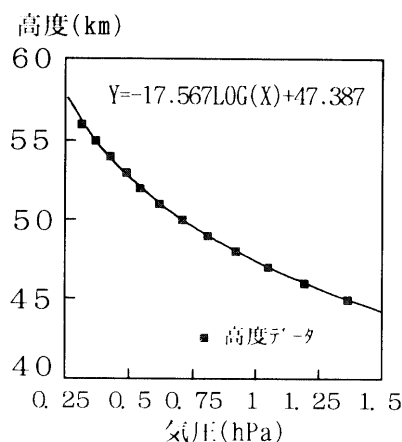


図 11. 高度の変換近似式

$$= 9.68 \times 10^{-4} \text{ (kg/cm}^3\text{)}$$

である。従って高度 H (Torr) は、

$$\begin{aligned} H &= \{\rho(1 + 0.00367 t) \times 760\} / 1.293 \\ &= 0.5376 \text{ Torr} \\ &= 0.7172 \text{ hPa} \\ &= 49.9 \text{ km} \end{aligned}$$

となる。外気温度 t は綾里のロケットデータより、-15 度とした。また、hPa から高度への変換は図 11 の綾里ロケットデータを近似して用いた。フィルムが伸びて体積が 5% 増加した場合、理論高度は 50.3 km となり GPS 高度データ 50.22 km から気球は破壊するまでには 5% 程度の体積膨張があったと考えられる。

6. 1. 2. 気球の破壊圧について

実験の結果、BT 120 気球は気球内圧が 0.04~0.05 gr/cm² で破壊した。米国 NASA の実験による気球破壊内圧は同じ容積を持つ球形気球として推定した値とよく一致していることが知られている。以上のことから破壊内圧の推算を行うと下記のようになる。

容積 120,000 m³ の気球を球形気球とした場合の半径 R は 30m である。

$$\begin{aligned} R \times \Delta P \text{ (破壊圧)} &= 3,000 \times (0.04 \sim 0.05) \\ &= 120 \sim 150 \text{ gr/cm} \end{aligned}$$

となる。

一方理論的に推算すると厚さ 5.8 μm のフィルムの-20 °C付近での降伏点強度は 60~100 gr/cm である。半径 R の球形とした時の破壊圧は

$$R \times \Delta P / 2 = 60 \sim 100 \text{ gr/cm}$$

で与えられる。従って

$$R \times \Delta P = 120 \sim 200 \text{ gr/cm}$$

となり、今回の実験による破壊圧と大変良く一致する。搭載したカメラ映像から得られた気球破壊の様子は、ほぼ 4 等分した形で上下方向に破壊しており、気球が極めて均一な強度でできていたと思われる。これまでの気球の破壊圧は NASA のデータによると、外気圧の 5~6% 程度であるとされている。今回の場合外気圧 0.71 gr/cm² であり、破壊圧 P (gr/cm²) を求めると、

$$\begin{aligned} P &= 0.71 \times (0.05 \sim 0.06) \\ &= 0.036 \sim 0.043 \end{aligned}$$

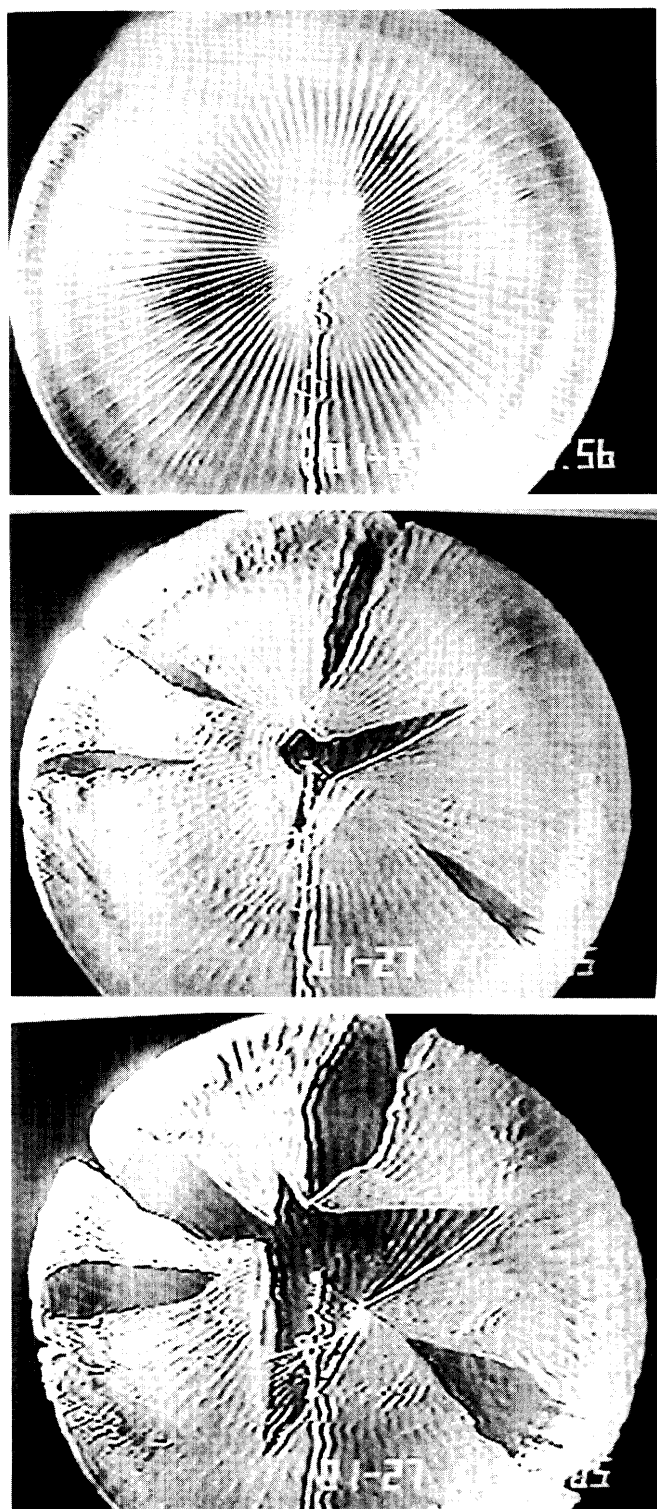


写真3. 気球破壊の様子

となり、測定された内圧値とよい一致が得られている。

写真3は搭載したCCDカラーカメラで写した気球の破壊の様子である。

6. 2. GPS 高度データ

搭載したGPS受信機は90%以上3次元測位の状態であり、高度が得られている。データの精度を示すDOP値についても3以下がほとんどであった。放球前の囁み合わせ試験から約40分の間に、5秒間隔で得られたGPSの高度データの変動を調べた。図12は約40分間に得られたGPS高度データの海拔220m(放球場の高度)からの変動の度数分布と割合を示している。度数グラフの模様は円グラフの模様に対応している。

たとえば、 $\pm 40\text{ m}$ 以内の度数の割合は54%であることがわかる。したがって放球前のGPS高度データにおいては、97%が $\pm 100\text{ m}$ 以内の変動であったことがわかる。GPSの測位はS/Aモードであるため、高度データには誤差がある。S/Aの大きさは人為的に変えられるため日々(年々)の変動値も変わるが、放球前のGPS高度データ変動から得られる高度精度は90%以上 $\pm 100\text{ m}$ 以内と考えるのが妥当である。気球の高度は測距によつても得ているがGPS高度とよく一致している。図13はGPS高度、図14は測距により得られた高度曲線である。また、図15には測距で得られた気球の航跡を示した。気球は放球後約3時間で最高高度の50.2km(GPS高度)に到達し、自然破壊した。上昇速度は毎分250m～300mで、期待した速度であった。

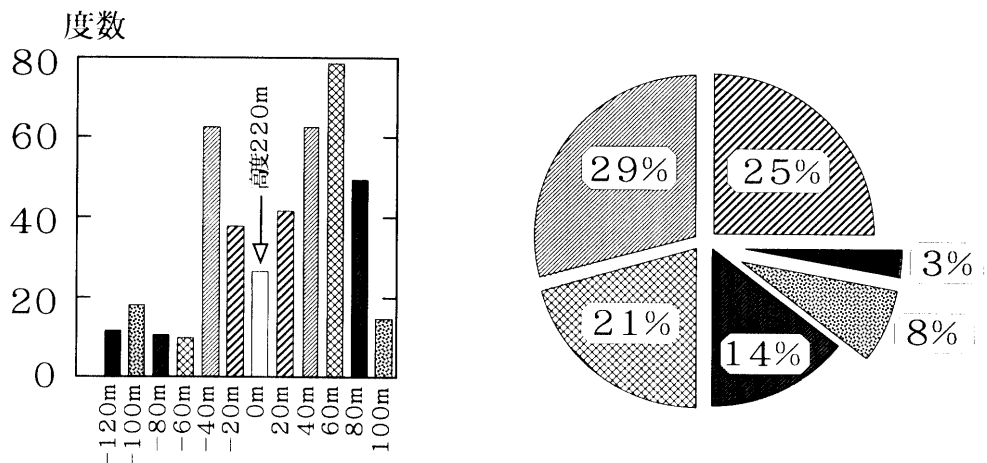


図12. GPS高度データの変動

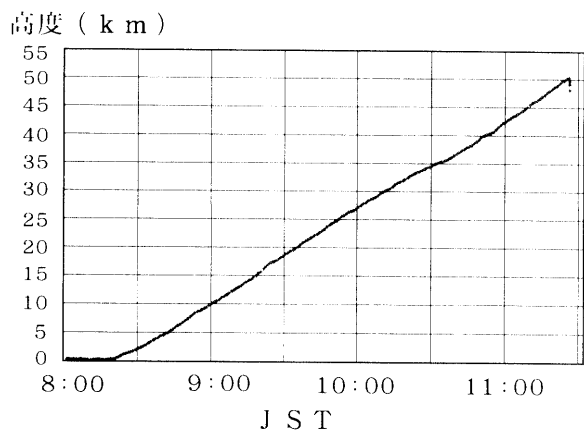


図13. GPS高度曲線

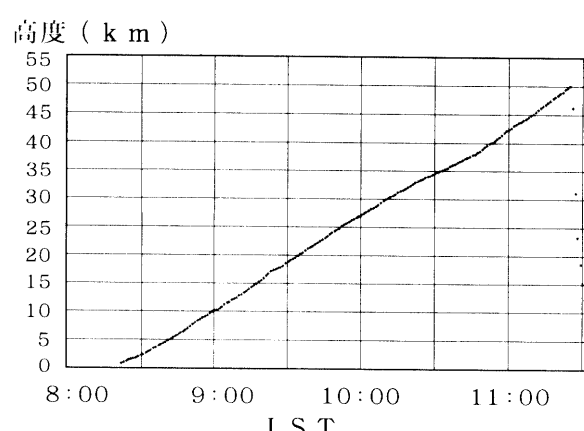


図14. 測距高度曲線

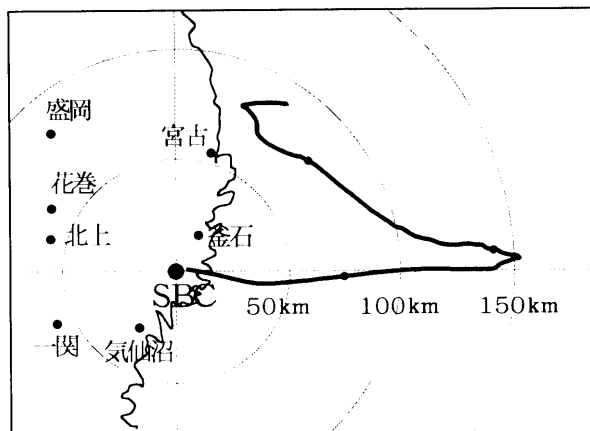


図 15. BT 120-1 気球の航跡

6.3. 国土地理院の GPS データ

国土地理院が GPS を使って宮古観測点の高度、緯度、経度の値を連続的に取得している。BT 120 が放球された 1997 年 1 月 27 日の 9 時 00 分から 12 時 00 分までの高度データを示したのが図 16 である。この図からわかるように 9 時から 10 時までは分散が比較的大きいが、10 時以降は大変安定した値を示している。このデータから宮古観測点と海拔からの高度差の誤差頻度分布を示したのが図 17 であり、その誤差頻度の割合を百分率で表したもののが図 18 である。この結果、BT 120 気球が飛翔している時間帯の誤差は $\pm 2\text{ m}$ 以内が 46.2%、 $\pm 4\text{ m}$ 以内で 90.8%、 $\pm 6\text{ m}$ 以内で 99.6% であった。このデータは 2 カ所の観測点によるディファレンシャル GPS を使ったも

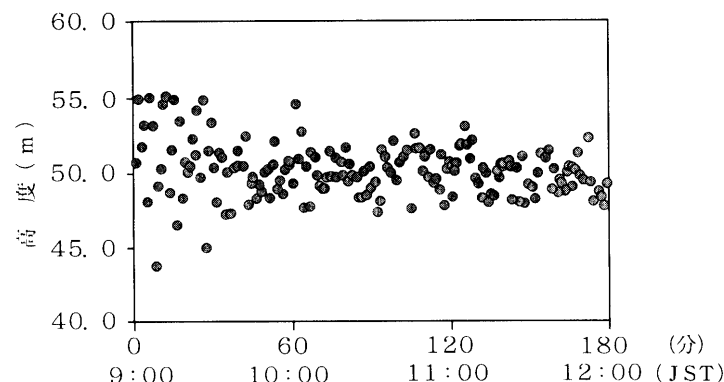


図 16. 宮古観測所の GPS 高度データ

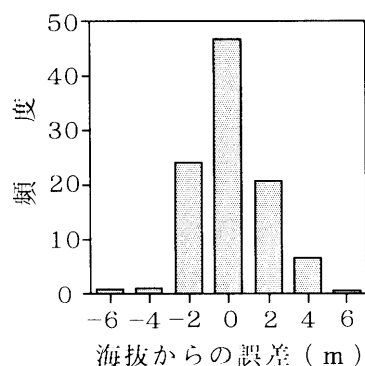


図 17. 宮古での誤差頻度分布

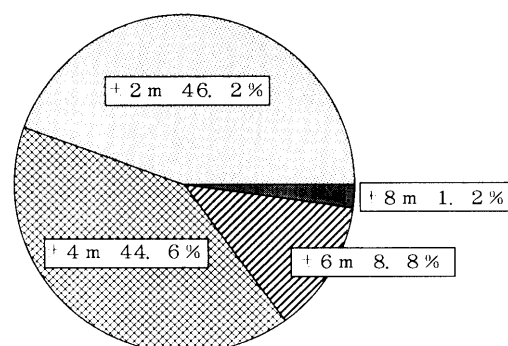


図 18. 誤差の割合

のである。ディファレンシャル GPS でない気球データはこれより 1 衡程度低い精度と考えられ、6.2. で述べた三陸放球場での GPS 精度と近い誤差と言える。

7. おわりに

BT 120-1 気球の飛翔は極めて良好で高度 50.2 km に到達した。飛翔試験の成功の要因の一つは気球の製作技術にある。5.8 μm の薄型フィルムを使った容積 120,000 m³ という大型の高高度気球の製作は技術はもちろんのこと、品質管理、製造工程の管理等が極めて大切なことである。もう一つの要因は大型の高高度気球に傷つけることなくまた無理な力をかけることなく安全に放球できる技術を確立したことである。これらの技術は宇宙研の気球部門が長年にわたって経験と改良を重ねた結果確立したものである。

気球が 50 km を超える高度まで到達したことは、新しい宇宙観測の新しい手段を開拓するものである。これまで 50 km 以上の高度での観測は主にロケットによっていたが、ロケットは観測時間が数分と短く制約が多くかった。一方、気球では数時間以上にわたる長時間観測が可能であり、広く利用されることが期待できる。特にオゾン等の超高層大気の観測には最も適したものと考えられる。今後は、より大きな気球の開発、製作を目指すことはもちろんあるが、大型の高高度気球がより容易に、いつでも放球できる放球システムを検討し確立していくことが重要と考えている。

謝 辞

本薄型高高度気球の開発・研究を進めるにあたり、終始懇意なる御指導を頂いた元宇宙科学研究所長西村 純教授に深く感謝の意を表します。また種々の有益なる御助言ならびに示唆を頂いた宇宙科学研究所奥田治之教授、矢島信之教授に厚く感謝の意を表します。本実験を行うにあたって、日々さまざまな面で御指導、御援助、御協力を頂いた宇宙科学研究所長西田篤弘教授、宇宙科学研究所の各位、運輸省航空局運行課、気象庁高層課の各位に厚く感謝の意を表します。

気球製作用ベルトシーラ、放球装置および軽量バласт弁の開発・製造に御協力頂いたテックス株式会社の川辺社長はじめ社員各位、また、実際に気球の製作を担当して下さった前藤倉航装株式会社岡田社長、そして、松島課長をはじめとする各位、ならびにテレメータや気球追尾受信を担当して下さった明星電気株式会社の小口部長をはじめとする各位に厚く感謝の意を表します。この実験にあたり、御協力頂いた関係各位に重ねて御礼申し上げます。

参考文献

- [1] 松坂幸彦、他：「大気球製作用新型ベルトシーラ」、宇宙研報告・特集第 31 号・23-36、1993.
- [2] 松坂幸彦、他：「超薄型高高度気球用 PCM コマンド」、宇宙研報告・特集第 33 号・19-30、1996.
- [3] Y. Matsuzaka, T. Yamagami, et al.: ISTS, 20th, Gifu, 1996 (In press).
- [4] 鳥海道彦、他：「高高度観測用気球の開発」、大気球シンポジウム報告、17-20、1995.
- [5] 山上隆正、他：「高高度観測用気球」、宇宙研報告・特集第 33 号・3-18、1996.
- [6] 松坂幸彦、他：「高高度気球用放球方式および搭載機器の軽量化」、大気球シンポジウム報告、72-75、1996.
- [7] 秋山弘光、他：「立て上げ放球法」、宇宙研報告・特集第 4 号・3-13、1982.